



Рис. 3. ЕПР-спектри KFeP_2O_7 за температури 298К, леговані молібденом із розплавом, що відповідають точкам I–IV на рис. 2

лів зазначеного дифосфату спостерігається за вмісту MoO_3 40% мол.: видовжена псевдотетрагональна симетрія кристалів завдяки появі слаборозвинutих граней {110} та {1-10}. Найскладніший набір простих форм виявлено з вмісту молібдену (VI) оксиду 55% мол. Мінімальну розвииність граней {110} та {100}, на противагу парі діедрів {110} та {1-10}.

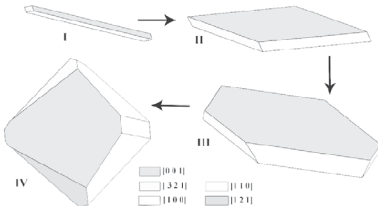


Рис. 4. Зміна морфології кристалів KFeP_2O_7 при зростанні вмісту MoO_3 (I – 8, II – 18, III – 40, IV – 55% мол.) у вихідному розплаві

час синтезу KFeP_2O_7 з фосфатно-молібденатних розплавів спостерігається покращення дифузії певних елементів та фрагментів до поверхні кристалів та загальне зменшення в'язкості розплаву при максимальному вмісту MoO_3 , що зумовлює появу граней [121] (рис. 4). Розглянутий вплив компонентів розплаву на морфологію кристалів підкреслює роль фосфатно-

Література —

1. В. Тимоффея. Рост кристаллов из раствор-расплавов. — М.: Наука, 1978. — 267с.
2. M. Hidouri, N. Sendi, A. Wattiaux, M. B. Amara. Structural study by X-ray diffraction and Mössbauer spectroscopy of a new synthetic iron phosphate: $\text{K}_2\text{MgFe}_3(\text{PO}_4)_2$. — *J. Phys. Chem. Solids* — 69. — P. 2555–2558.
3. M. Męczka, A. Ważnica, J. Hanusz. Crystal structure and vibrational properties of $\text{Ba}_2\text{MgW}_2(\text{PO}_4)_2$. — *Acta Cryst. B* — 1996. — 52. — P. 1103–1110.
4. C.V. Kannan, S. Ganesamoorthy, C. Subramanian. γ -Ray Compton Investigation of the nucleation dynamics of RbTiO_3 ($\text{X}-\text{P}$ or As) crystal growth from high temperature solutions // *Cryst. Res. Technol.* — 2002. — 37, №11. — P. 1180–1187.
5. Mössbauer-effect, magnetic, and neutron-diffraction study of NaFeP_2O_7 / R. C. Mercader, L. Terminiello et al. // *Phys. Rev. B Condens. Mat.* — 1990. — 42. — P. 25–32.
6. D. Rioz, P. Labbe, M. Gourdon. Orthophosphate $\text{K}_2\text{Fe}_3(\text{PO}_4)_2$: crystallographic and possibilities for insertion in the lattice. — *Eur. J. Solid State Chem.* — 1988. — 25. — P. 215–229.
7. КЗМПЗ(МVO4)(PO4)2 (MIII=Fe, Sc; MVI=Mo, W), novel members of the lageite-related family: synthesis, structure, and magnetic properties / N. S. Слободаник, К. В. Теребіленко // *Inorg. Chem.* — 2012. — 51. — P. 1380–1385.
8. Kravchenko V. Structural features of the superionic phase transitions in $\text{Na}_2\text{Fe}_3(\text{PO}_4)_2$ // *Solid State Comm.* — 1992. — 83. — P. 149–152.
9. Pratihar, D., and E. Bourard. γ -ray Compton Structure de l'orthophosphate de fer(III) et tripotassium, $\text{K}_3\text{Fe}(\text{PO}_4)_2$ // *Acta Crystallogr., Sect. C* — 1983. — C39. — P. 9–12.
10. Batel F. H. Gamma ray interaction with sodium phosphate glasses containing MoO_3 // *Nucl. Instr. and Meth. B*. — 2007. — 265, № 2. — P. 521–535.

АННОТАЦІЯ

Слободаник Н.С., Теребіленко К.В., Ворона І.П. Синтез і морфологія кристалів $M^2\text{FeP}_2\text{O}_7$ ($M^2=\text{Na}, \text{K}$), отримані з фосфатно-молібденатних розплав-расплавів // Біоресурси і природокористування. — 2012. — 4, № 5–6. — (ч. 32–37).

Помірено залежність параметрів і морфології кристалів $M^2\text{FeP}_2\text{O}_7$ ($M^2=\text{Na}, \text{K}$) від концентрації молібдену (VI) оксиду в розплавах заліза $M^2\text{FeP}_2\text{O}_7$ ($M^2=\text{Na}, \text{K}$). Опізнано залежності оболюк фосфатогідратів MFP_2O_7 , $\text{M}_2\text{Fe}_3(\text{PO}_4)_2$, $\text{K}_2\text{Fe}_3(\text{PO}_4)_2(\text{MoO}_4)$ та Fe_2O_3 в залежності від соотношення $\text{Mo}/\text{M}^2/\text{P}$ в розплаві. Субстратом-індуктором морфологічних перетворень KFeP_2O_7 при появі діедрів та граней MoO_3 в исходному розплаві, а зокрема молібдену в кристаліческій частині подтверджено ІІІ спектрофотометрическими методами.

N. Slobodanyk, K. Terebilenko, I. Vorona. Synthesis and morphology of $M^2\text{FeP}_2\text{O}_7$ ($M^2=\text{Na}, \text{K}$) crystals obtained by high-temperature solution-growth method in the $M^2\text{FeP}_2\text{O}_7$ ($M^2=\text{Na}, \text{K}$) molten salt system have been investigated. The crystallization fields of $(\text{MFP}_2\text{O}_7, \text{M}_2\text{Fe}_3(\text{PO}_4)_2, \text{K}_2\text{Fe}_3(\text{PO}_4)_2(\text{MoO}_4))$ and Fe_2O_3 have been found depending on the Na/Mo and Na/P ratio in the melt. The morphology changes of KFeP_2O_7 prior to crystals have been observed to be driven by MoO_3 concentration in the initial composition. The crystalline matrix's doping by molybdenum has been proved by EPR spectroscopy.

Том 4, №5–6, 2012

БІОРЕСУРСИ І ПРИРОДОКОРИСТУВАННЯ

ISSN 2078-9912 | 37